

ЭКСИТОННЫЙ СПЕКТР В  $\beta$ -AgJ

Л. Дж. Бедикян, В. К. Милославский и Л. А. Агеев

Полупроводник AgJ единственное соединение элементов I и VII групп, легко формирующееся в структуре вюрцита, однако в отличие от других соединений той же структуры его экситонный спектр мало изучен из-за трудности в приготовлении совершенных кристаллов.

В настоящей работе определены оптические постоянные  $n$  и  $k$  в интервале энергии  $2.7 \div 4.0$  эВ при 90, 293 и 393 К. Исследовались тонкие пленки  $\beta$ -AgJ (политип 2H), приготовленные путем обработки в парах  $J_2$  тонких пленок Ag, осажденных в вакууме на кварцевые подложки. Оптические постоянные определялись путем измерения пропускания пленок в широкой области спектра ( $0.22 \div 1.2$  мкм) и последующей обработки данных измерения с помощью соотношений Крамерса—Кронига по методике [1], позволяющей найти фазу прошедшей волны. По значениям фазы и пропускания были рассчитаны  $n$  и  $k$  в интервале  $0.45 \div 0.3$  мкм. Ошибка в определении  $n$  и  $k$  связана главным образом с ошибкой в определении фазы в области поглощения и толщины и составляет  $\delta n \approx 0.1$  и  $\delta k \approx 0.02$ .

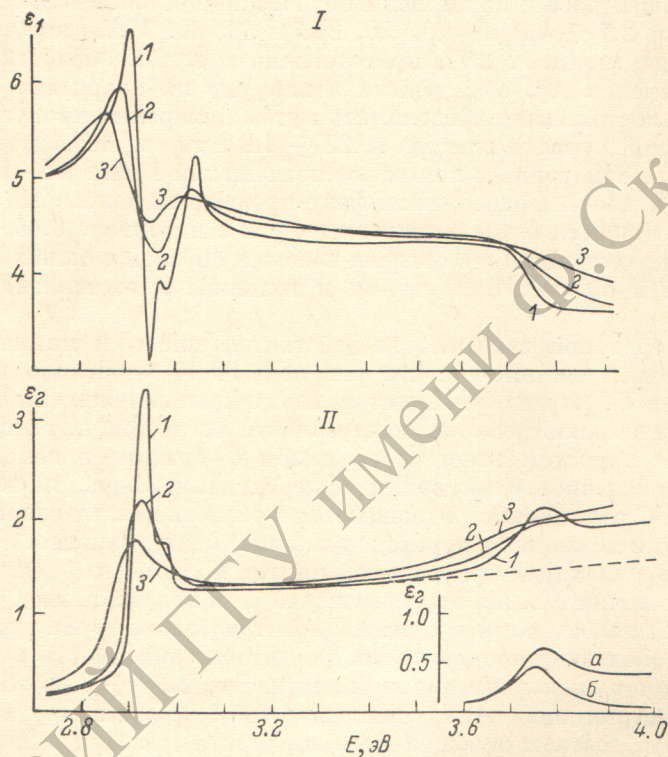
На спектральной зависимости действительной  $\epsilon_1$  и мнимой  $\epsilon_2$  части диэлектрической постоянной (см. рисунок, 90 К) отчетливо выделяются пики  $A$ ,  $B$  и  $C$ , характерные для фазы вюрцита. Между пиками  $B$  и  $C$  наблюдается широкий участок междузонного поглощения, слегка приподнимающийся с ростом энергии; за пиком  $C$  возникает дополнительная ступенька, связанная с межзонными переходами. С ростом температуры пики  $A$ ,  $B$  и  $C$  размываются и смещаются в область низких энергий, в то же время участки межзонных переходов не испытывают заметного изменения. Для нахождения характеристик экситонных полос  $A$  и  $B$  (силы осциллятора  $f$ , положения  $E_{ex}$ , высоты максимума  $\epsilon_m$  и полуширины  $\Gamma$ ) мы аппроксимировали полосы симметричным Лорентзовым контуром, характерным для слабой экситон-фононной связи, так, чтобы зависимость  $\epsilon_2(E)$  хорошо согласовалась с экспериментальной на участке  $2.93 \div 3.00$  эВ. При этом из-за асимметрии пика  $A$  на низкочастотном крыле выделяется слабый пик 2.914 эВ, соответствующий фазе сфалерита [2]. При выделении пика  $C$  возникает трудность, связанная с фоном междузонного поглощения и сильным размытием пика. Фон от переходов из подзон  $A$  и  $B$  аппроксимировался прямой, параллельной участку  $3.85 \div 4.00$  эВ и касающейся кривой  $\epsilon_2(E)$  при 3.4 эВ (см. рисунок). Размытие пика приводит к его переналожению с размытым краем межзонных переходов из подзоны  $C$ , что в свою очередь приводит к сдвигу максимума в сторону больших  $E$  и несовпадению максимума  $\epsilon_2(E)$  с положением точки перегиба на участке аномальной дисперсии  $\epsilon_1(E)$  (см. рисунок). Анализ показывает, что положение точки перегиба более устойчиво к эффектам переналожения, чем положение максимума, в связи с чем для  $C$  полосы  $E_{ex} = 3.75$  эВ. Выделение контура  $C$  полосы показано на вставке рисунка. Основные характеристики экситонных пиков даны в таблице. При нахождении силы осцил-

Характеристики экситонных полос при 90 К

Полосы	$E_{ex}$ , эВ	$\epsilon_m$	$\Gamma$ , эВ	$f \cdot 10^2$	$f_{\text{расч.}} \cdot 10^2$	
					$E \parallel C$	$E \perp C$
$A$	$2.937 \pm 0.001$	$3.0 \pm 0.05$	$0.032 \pm 0.001$	$2.76 \pm 0.15$	0	2.76
$B$	$2.977 \pm 0.001$	$1.2 \pm 0.05$	$0.034 \pm 0.001$	$1.19 \pm 0.1$	3.44	4.01
$C$	$3.75 \pm 0.005$	$0.45 \pm 0.05$	$0.12 \pm 0.1$	$1.7 \pm 0.4$	1.6	1.38
Кубическая фаза	$2.914 \pm 0.001$	$1.15 \pm 0.05$	$0.024 \pm 0.001$	0.78	—	—

лятора  $C$ -полосы фазы вюрцита был вычен вклад от кубической фазы, равный 0.3.

Если предположить совпадение энергии связи  $A$ -,  $B$ - и  $C$ -эксситонов ( $R_{\text{ex}}=0.08$  эВ [3]), то можно вычислить энергетические зазоры в точке  $\Gamma$ , соответствующие межзонным переходам  $\Gamma_9 \rightarrow \Gamma_7$ ,  $\Gamma_7 \rightarrow \Gamma_7$  и  $\Gamma_7 \rightarrow \Gamma_7$ :  $E_A=3.017$  эВ,  $E_B=3.057$  эВ и  $E_C=3.83$  эВ, на основании которых с помощью квазикубического приближения [4, 5] рассчитываются энергии спин-орбитального взаимодействия  $\Delta_{\text{co}}=0.79$  эВ и внутрикристаллического поля  $\Delta_{\text{kp}}=0.061$  эВ. Квазикубическое приближение позволяет



Спектральная зависимость действительной  $\epsilon_1$  (I) и миной  $\epsilon_2$  (II) части диэлектрической постоянной  $\beta$ -AgJ в районе эксситонных возбуждений.

T, K: 1 — 90, 2 — 293, 3 — 393. На вставке выделена добавка к  $\epsilon_2$ , связанная с переходами из  $C$  подзоны (a); б — эксситонный пик  $C$ . Штриховая кривая — фон за счет переходов из  $A$  и  $B$  подзон.

также при известных  $\Delta_{\text{kp}}$  и  $\Delta_{\text{co}}$  рассчитать соотношение квадратов матричных элементов  $P_i^2$  межузонных переходов [5]. Расчет дает следующие относительные значения  $P_i^2$ : для поляризации  $E \perp C$   $P_A^2=1$ ,  $P_B^2=0.37$ ,  $P_C^2=0.63$ ; для  $E \parallel C$  —  $P_A^2=0$ ,  $P_B^2=1.26$ ,  $P_C^2=0.74$ . По найденным значениям  $P_i^2$  рассчитаны силы осциллятора эксситонных полос, нормированные на силу осциллятора  $A$ -полосы

$$f_i = \frac{\Omega E_{pi}}{\pi a_{\text{ex}}^3 E_{\text{ex}}, i}, \quad (1)$$

где  $\Omega=1.36 \cdot 10^{-22}$  см<sup>3</sup>,  $E_{pi}=(2/m)P_i^2$ ,  $a_{\text{ex}}$  — радиус эксситона. Из сравнения расчета с экспериментом следует, что пленка  $\beta$ -AgJ текстурирована с преимущественной ориентацией кристаллитов осью  $C$  перпендикулярно подложке, что отвечает способу приготовления пленок; небольшое расхождение между расчетом и экспериментом можно устраниТЬ учетом возможного разброса осей кристаллитов. При оценке радиуса эксситона мы воспользовались тем, что для кубической фазы сфалерита  $E_p=15$  эВ [2], что при очевидном равенстве  $E_{pA}=0.5 E_p$  дает  $E_{pA}=7.5$  эВ и  $a_{\text{ex}}=16$  Å. Отсюда

эффективная диэлектрическая постоянная, определяющая кулоновскую связь электрона и дырки в основном экситонном состоянии,  $\epsilon_{\text{эфф.}} = a_0 R_0 / a_{\text{ex}} R_{\text{ex}} = 5.6$  ( $a_0 = 0.529 \text{ \AA}$ ,  $R_0 = 13.6 \text{ эВ}$ ) и имеет промежуточное значение между статической (7.3) и оптической (4.12) [2] диэлектрическими постоянными. Приведенная масса электрона и дырки, найденная по  $a_{\text{ex}}$  и  $\epsilon_{\text{эфф.}}$ , равна  $\mu = 0.185$  и близка к значению  $0.21 \text{ m}$ , найденному по квантовому размерному эффекту [6]. Отметим также, что соотношение между расчетными силами осциллятора хорошо согласуется с соотношением уровней междузонного поглощения  $\rho$  в районе краев. С одной стороны (см. рисунок),  $\rho = \epsilon_C / (\epsilon_B + \epsilon_A) = 0.375 / 1.3 = 0.29$ , с другой —  $\rho = f_C \bar{E} / (f_A + f_B) \times \times E_C = 0.3$ , где  $\bar{E} = 1/2(E_A + E_B)$ .

### Литература

- [1] В. К. Милославский, Е. Н. Набойкина. Опт. и спектр., 38, 973, 1975.
- [2] Л. А. Агеев. Автореф. канд. дис., Харьков, 1974.
- [3] M. Bettini, S. Suga, R. Hanson. Solid. St. Comm., 15, 1885, 1974.
- [4] Сб. «Физика и химия соединений АПВИ», 262. «Мир», М., 1970.
- [5] Г. Л. Бир, Г. Е. Пикус. Симметрия и деформационные эффекты в полупроводниках, 407. «Наука», М., 1972.
- [6] Л. А. Агеев, В. К. Милославский, И. Н. Шкляревский. УФЖ, 17, 1059, 1972.

Поступило в Редакцию 28 сентября 1978 г.

УДК 539.194+535.375.54/.55

## «ПЛАВЛЕНИЕ» ВРАЩАТЕЛЬНЫХ СТЕПЕНЕЙ СВОБОДЫ НАФТАЛИНА ВБЛИЗИ ПЕРЕХОДА КРИСТАЛЛ—ЖИДКОСТЬ

Г. Н. Жижин и Н. В. Свиридов

Постадийное «плавление» вращательных степеней свободы молекул обнаружено по температурной зависимости интегральных интенсивностей фононных спектров комбинационного рассеяния (СКР) [1]. Показано, что переориентации молекул циклогексана вокруг оси  $C_3$  активизируются еще в анизотропном кристалле задолго до перехода в пластическую фазу.

Для веществ, не имеющих промежуточных фаз, обычно предполагается, что «плавление» различных степеней свободы молекул при переходе кристалл—изотропная жидкость (К—ИЖ) происходит в точке перехода при одинаковой для всех степеней свободы молекул температуре. Однако по аналогии с [1] можно предположить, что «плавление» вращательных степеней свободы молекул для некоторых таких соединений происходит постадийно. Еще в кристаллической фазе могут быть активизированы вращения молекул в направлениях, соответствующих наименьшим барьерам переориентации. Нарушение скоррелированного вращательного движения молекул индивидуальными переориентациями определенного вида должно привести к уширению и относительному уменьшению интенсивности фононных линий.

Для проверки этого предположения по изменениям в фононных СКР было исследовано плавление монокристалла нафталина, спектры которого хорошо изучены и надежно интерпретированы [2, 3]. В фононных СКР нафталина активны шесть частот вращательных качаний ( $3A_g + 3B_g$ ), происходящих относительно осей, близких к осям инерции молекул [4]. Для нафталина в силу особенностей упаковки молекул в кристаллической решетке можно ожидать исчезновения вблизи температуры плав-